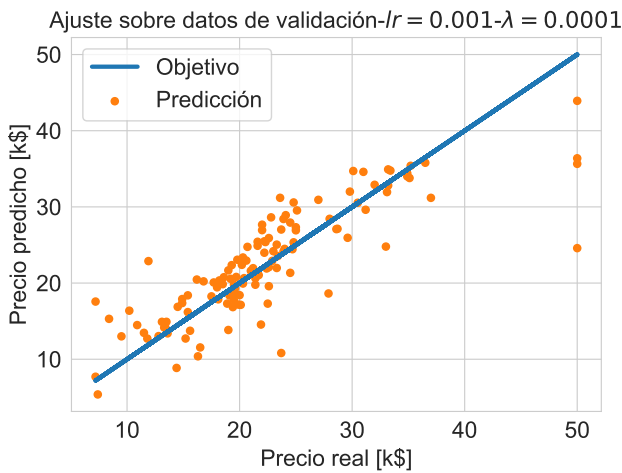


## TP4

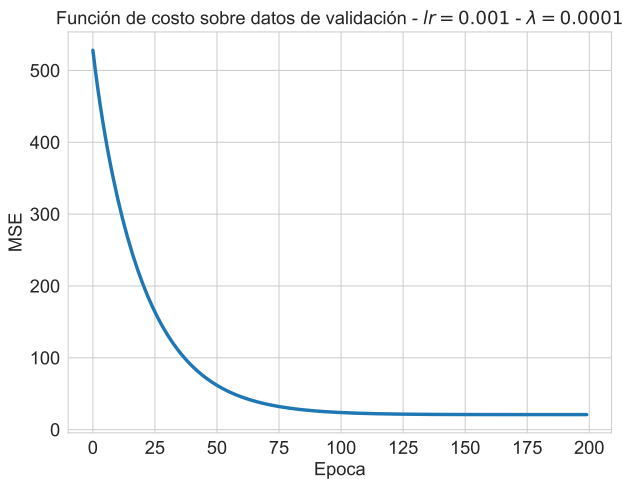
Tomás Hüttenbräucker  
*Aprendizaje Profundo y Redes neuronales artificiales*  
(26 de octubre de 2020)

### EJ1

Se entreno un clasificador lineal que utilice la base de datos sobre inmuebles de Boston de la librería *sklearn* para predecir el precio de una casa en función de las características de la misma.



(a) Predicción de precios de las casas comparados con los precios reales de las mismas



(b) Función de costo del modelo en función de la época de entrenamiento.

Figura 1: Predicción y función de costo para el clasificador lineal implementado para predecir el precio de alojamientos en la ciudad de Boston.

En la figura 1 se muestra la predicción final del clasificador lineal y la evolución de la función de costo. Se ve que aunque el modelo aprende, finalmente no termina realizando una muy buena predicción sobre los datos.

### EJ2

Se implementaron los ejercicios 3, 4 y 6 de la práctica 2 utilizando la librería *keras*. En general la implementación fue mucho mas simple y, además, los algoritmos se ejecutaron mucho mas rápido. Esto muestra que, claramente, la implementación de *keras* es mucho mejor que la implementada por el alumno.

#### 3

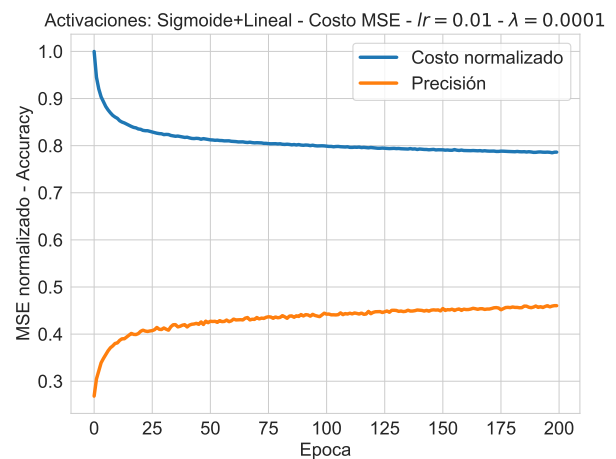


Figura 2: Función de costo normalizada y precisión del modelo del ejercicio 3 del TP2, implementado con *keras*.

#### 4

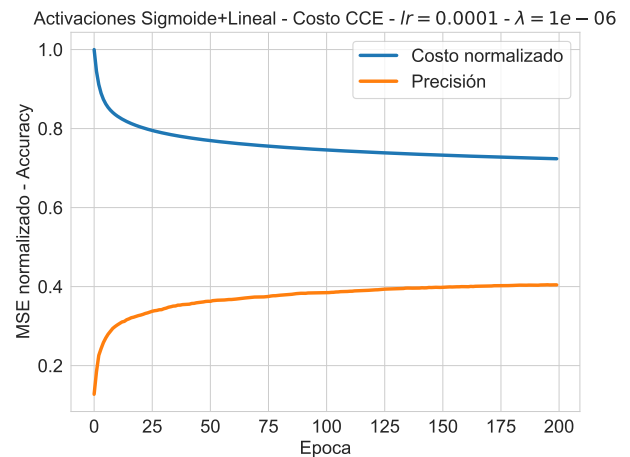
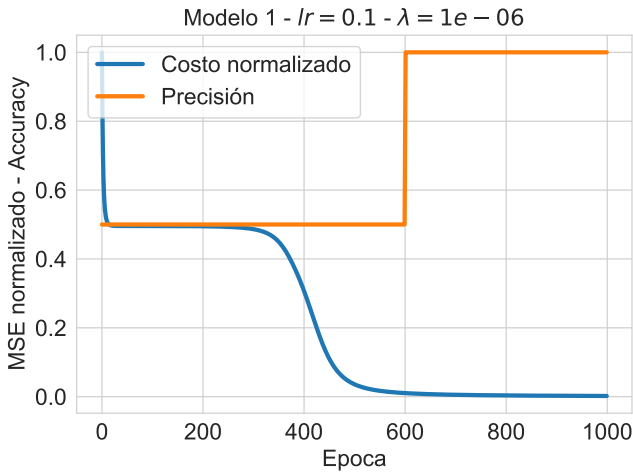
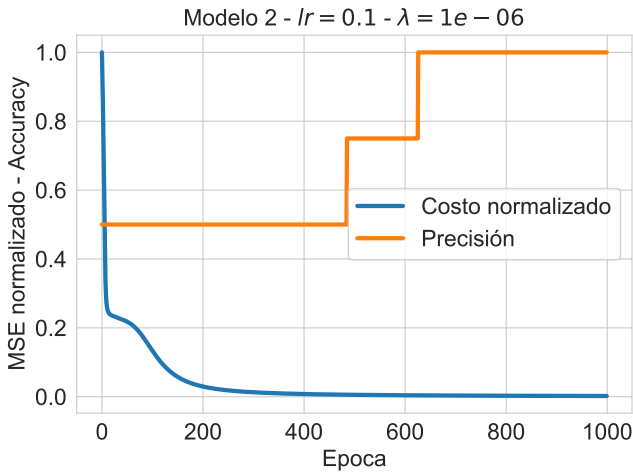


Figura 3: Función de costo normalizada y precisión del modelo del ejercicio 4 del TP2, implementado con *keras*.

6



(a) Modelo secuencial



(b) Modelo con capa de concatenación.

Figura 4: Función de costo normalizada y precisión del modelo del ejercicio 6 del TP2, implementado con *keras*.

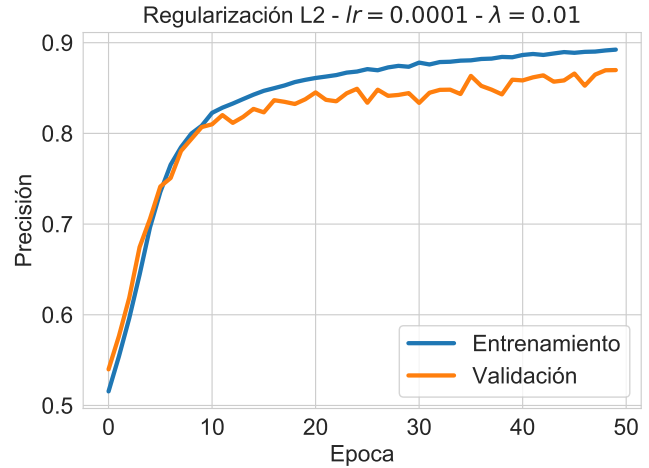
### EJ3

Se busca diseñar una red neuronal capaz de detectar si una película recibió una mala o buena reseña en base a las palabras que contiene la misma. Se utilizó la base de datos de *IMDB* provista por *keras*. Los datos se preprocesaron llevándolos a una representación vectorial donde cada elemento del vector es una palabra y el valor de ese elemento es cuantas veces aparece la palabra en la reseña. Se diseñó un modelo compuesto por tres capas ocultas, la primera de 100 neuronas con activación *ReLU*, la segunda de 10 neuronas con activación *ReLU* y la de salida de 1 neurona con activación lineal. Se usó una capa que concatene las entradas de la red con la salida de la capa de 10 neuronas. La función de costo elegida fue *BinaryCrossentropy* y el optimizador tipo *Adam*. Se usaron combinaciones de tres estrategias de regularización de los datos, regularización L2, *Batch Normalization* y *Drop Out*.

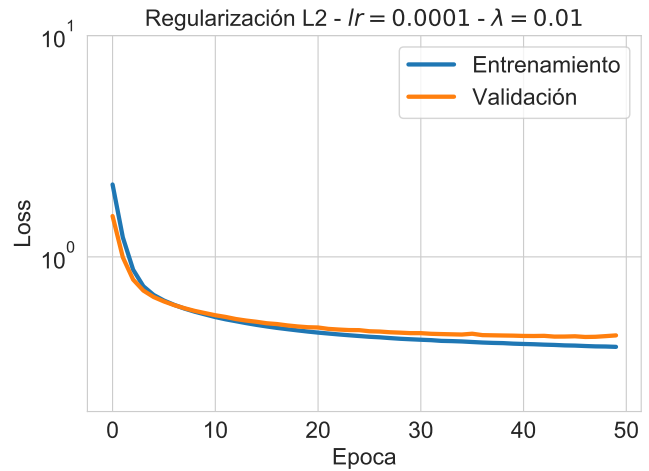
En la figura 5 se muestra la evolución de la función de costo y la precisión del modelo utilizando regulariza-

ción L2 a medida que pasan las épocas. Se ve que a pesar de utilizar la regularización, hay overfitting, esto puede deberse que el factor de regularización no es lo suficientemente grande.

En la figura 6 se muestra la evolución del modelo al usar *Drop Out* junto con regularización L2. Se ve que en este caso hay una leve disminución del overfitting, pero en general el modelo tiene un desempeño peor que al utilizar solo regularización L2. Esto puede deberse a que el *Drop Out* introduce más restricciones al aumentar la regularización.



(a) Precisión

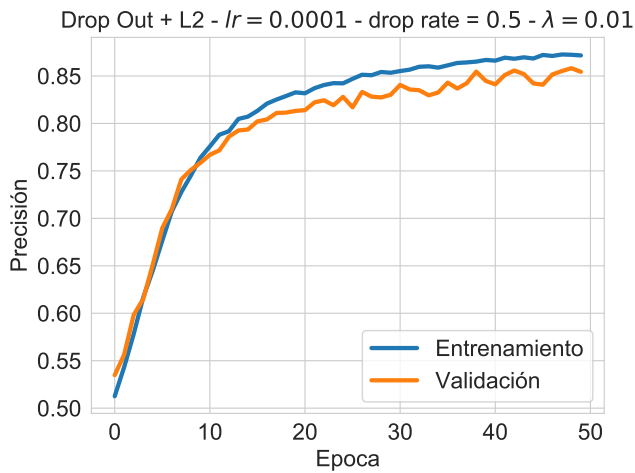


(b) Loss normalizada

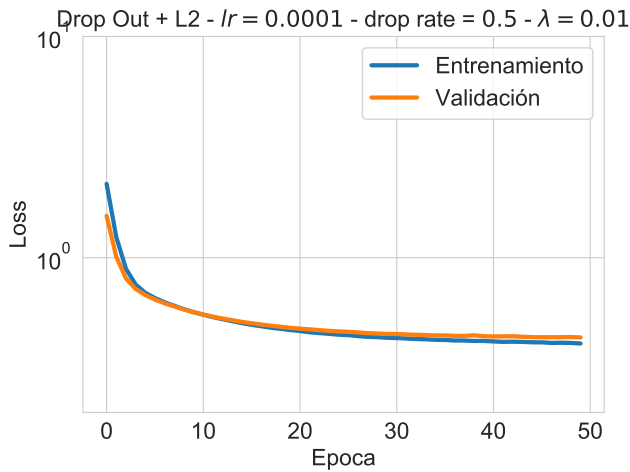
Figura 5: Precisión y loss normalizada del modelo al utilizar regularización L2.

En la figura 7 se muestra la evolución del modelo usando *Batch Normalization* junto con regularización L2. En este caso el rendimiento del modelo es mejor a los dos casos anteriores, llegando a los valores de precisión para los datos de entrenamiento más altos, sin embargo presenta valores de precisión para los datos de validación similares al utilizar solo regularización L2. Es evidente que de esta forma se observa el overfitting más alto, lo que puede deberse a que al utilizar el método *Batch Normalization*, el modelo converge más rápido y comienza a ajustar cosas propias de los datos de entrenamiento y no del problema general. También se ve que al usar *Batch Normalization*

se puede usar un parámetro de regularización mayor sin arruinar el rendimiento de la red.



(a) Precisión



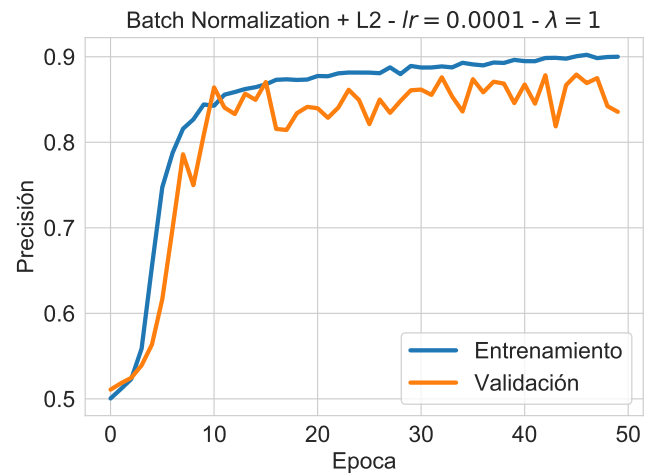
(b) Loss normalizada

Figura 6: Precisión y loss normalizada del modelo al utilizar *Drop Out* junto con regularización L2.

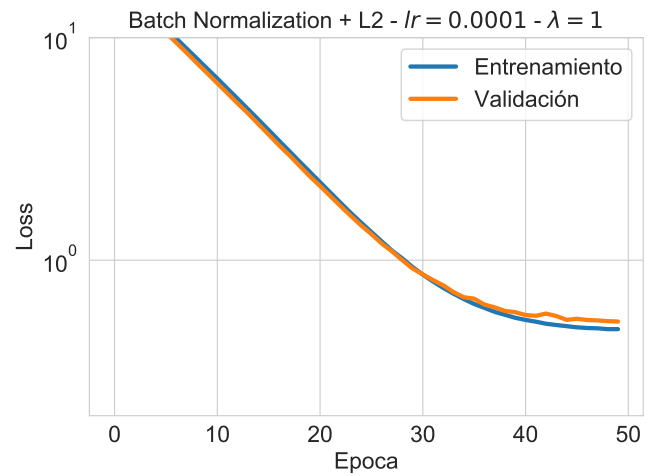
En la tabla 1 se muestran los valores de precisión obtenidos sobre los datos de testing para la arquitectura con las diferentes estrategias de normalización usadas. Se ve que las respuestas son

Método	Acc. Test
L2	0.87
DO+L2	0.85
BN+L2	0.82

Tabla 1: Valores de precisión sobre los datos de test para los diferentes modelos usados.



(a) Precisión



(b) Loss normalizada

Figura 7: Precisión y loss normalizada del modelo al utilizar *Batch Normalization* junto con regularización L2.

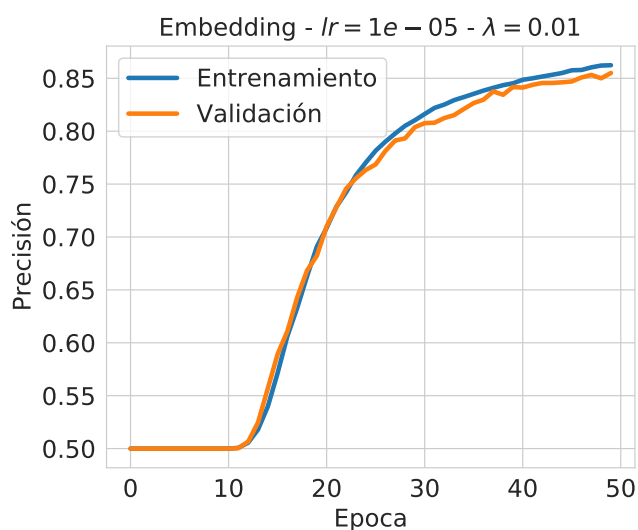
#### EJ4

Se busco resolver el problema del ejercicio 3 (clasificar reseñas de películas) usando ahora *embedding* sobre los datos. El *embedding* consiste en representar las palabras como vectores dentro de un espacio continuo de dimensión elegida. Los parámetros del *embedding* son *n\_words* que es el numero de palabras totales usadas por la base de datos, *review\_length* que es la longitud a las cuales se fijaron las reseñas (con *padding*) y *emb\_dim* que es la dimensión del espacio donde se representaron las palabras.

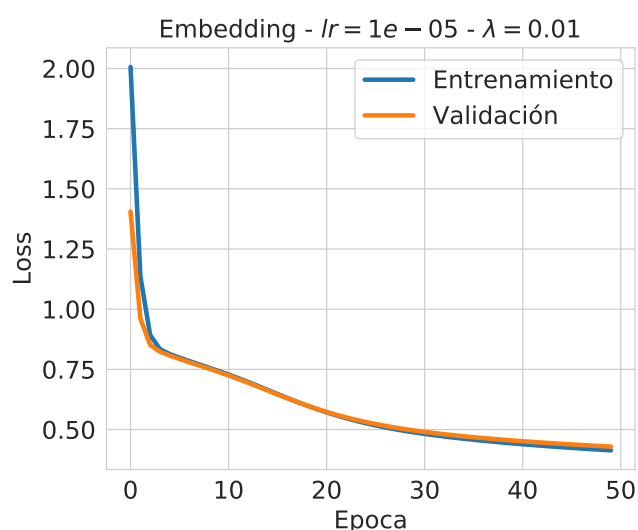
#### Embedding red densa

Los parámetros usados para el *embedding* fueron:

Parámetro	Valor
<i>n_words</i>	10000
<i>review_length</i>	500
<i>emb_dim</i>	32



(a) Precisión



(b) Loss normalizada

Figura 8: Precisión y loss del modelo al utilizar *embedding*.

La arquitectura del modelo implementado es la siguiente:

Layer (type)	Output Shape
input (InputLayer)	[(None, 500)]
embedding (Embedding)	(None, 500, 32)
flatt (Flatten)	(None, 16000)
dense_1 (Dense)	(None, 100)
dropout_1 (Dropout)	(None, 100)
dense_2 (Dense)	(None, 10)
dropout_2 (Dropout)	(None, 10)
concatenate (Concatenate)	(None, 16010)

Layer (type)	Output Shape
embedding_1 (Embedding)	(None, 500, 16)
batch_normalization (Batch Normalization)	(None, 500, 16)
conv1d_1 (Conv1D)	(None, 500, 16)
max_pooling1d_1 (MaxPooling1D)	(None, 250, 16)
batch_normalization_1 (Batch Normalization)	(None, 250, 16)
conv1d_2 (Conv1D)	(None, 250, 64)
max_pooling1d_2 (MaxPooling1D)	(None, 125, 64)
batch_normalization_2 (Batch Normalization)	(None, 125, 64)
flatten_1 (Flatten)	(None, 8000)
dropout (Dropout)	(None, 8000)
dense_1 (Dense)	(None, 1)

(input, dropout\_2)

dense\_9 (Dense) (None, 1)

=====  
Total params: 1,937,121

Trainable params: 1,937,121

Non-trainable params: 0

donde cada una de las capas densas tenía regularización L2. Esta arquitectura es igual a la usada en el ejercicio 3, incluyendo como novedad la capa de *embedding*.

En la figura 8 se muestra la evolución del modelo. Se ve que el modelo tarda mas en aprender, su aprendizaje en las primeras épocas es nulo. El modelo crece rápidamente y en más épocas podría llegar a valores de precisión más altos y parece aprender mas rápido que al mismo modelo sin la presencia de la capa de *embedding*. También se ve que el overfitting del modelo es menor al obtenido sin *embedding* (comparando con el modelo de Drop Out del ejercicio 3).

#### Embedding + red convolucional

Layer (type)	Output Shape
embedding_1 (Embedding)	(None, 500, 16)
batch_normalization (Batch Normalization)	(None, 500, 16)
conv1d_1 (Conv1D)	(None, 500, 16)
max_pooling1d_1 (MaxPooling1D)	(None, 250, 16)
batch_normalization_1 (Batch Normalization)	(None, 250, 16)
conv1d_2 (Conv1D)	(None, 250, 64)
max_pooling1d_2 (MaxPooling1D)	(None, 125, 64)
batch_normalization_2 (Batch Normalization)	(None, 125, 64)
flatten_1 (Flatten)	(None, 8000)
dropout (Dropout)	(None, 8000)
dense_1 (Dense)	(None, 1)

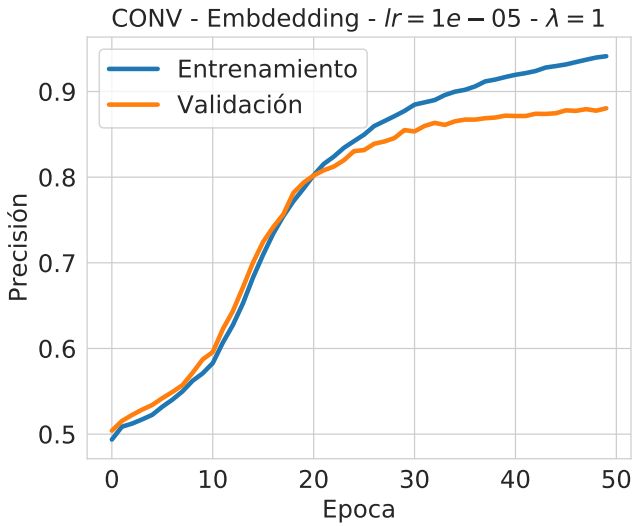
Total params: 172,305

Trainable params: 172,113

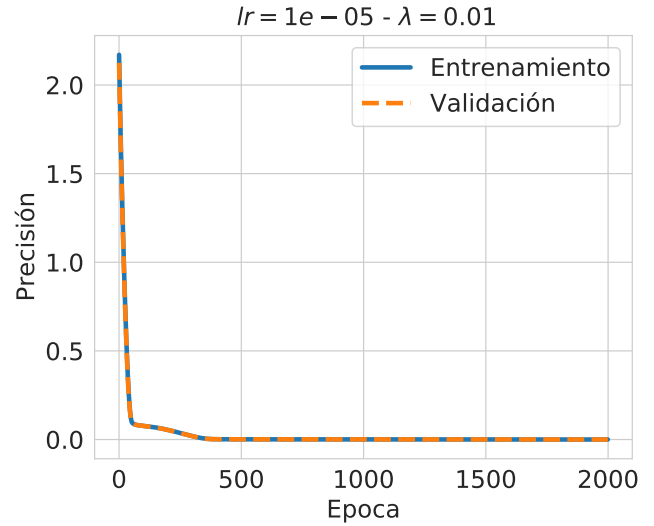
Non-trainable params: 192

Se entreno una red con la arquitectura mostrada arriba para resolver la clasificación de reseñas.

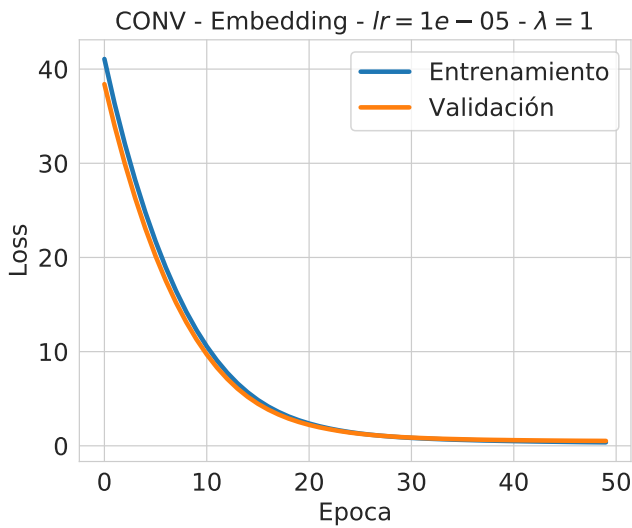
En la figura 9 se muestra la evolución de la red en el entrenamiento. Se ve que la red crece mas rápidamente y llega a valores de precisión más altos que la red densa implementada previamente. Sin embargo, también presenta mas *overfitting*. Esto puede deberse a la rápida convergencia de la red.



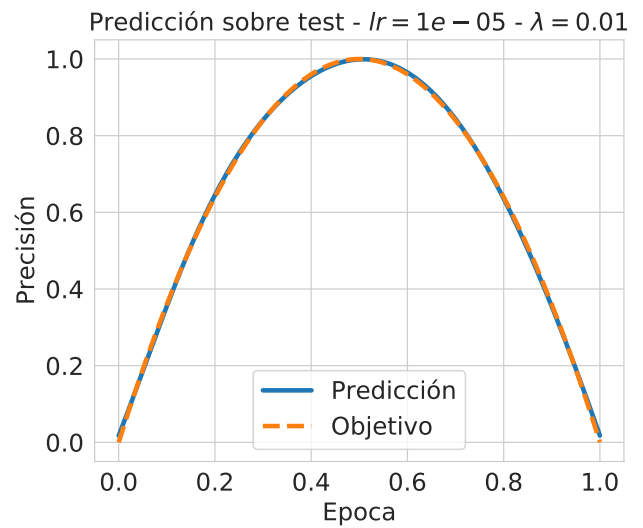
(a) Precisión



(a) MSE



(b) Loss normalizada



(b) Predicción sobre datos de test.

Figura 9: Precisión y loss del modelo al utilizar *embedding*.

Figura 10: MSE y predicción sobre los datos de entrenamiento del modelo.

**EJ5**

Se entreno una red con la arquitectura propuesta para resolver el mapeo  $x(t) = 4x(t-1)(1-x(t-1))$ .

En la figura 10 se muestra el MSE a lo largo de las épocas de entrenamiento y la predicción sobre los datos de testing. Como se ve, el modelo funciona muy bien, prediciendo casi a la perfección.

**EJ6**

Se diseño una red con el objetivo de predecir, dada la información sobre un paciente, si este tiene o no diabetes. La arquitectura del modelo fue:

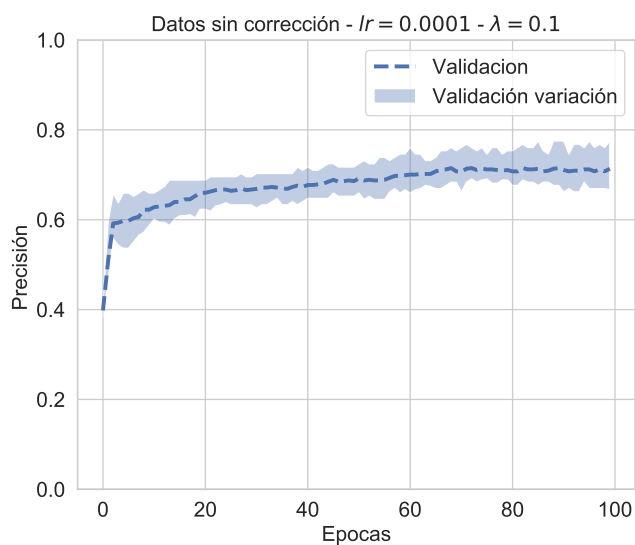
Layer (type)	Output Shape
dense (Dense)	(None, 24)
batch_normalization (Batch Normalization)	(None, 24)
dense_1 (Dense)	(None, 12)
batch_normalization_1 (Batch Normalization)	(None, 12)
dense_2 (Dense)	(None, 1)
Total params: 673	

Trainable params: 601  
Non-trainable params: 72

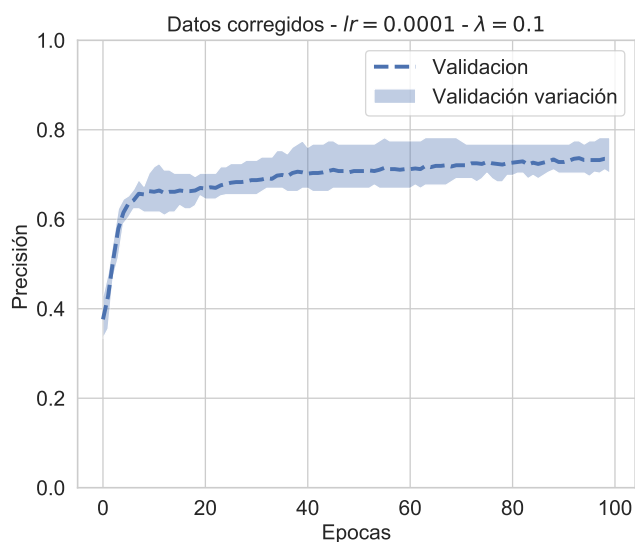
EJ7

Se creo un *autoencoder* que permita filtrar ruido presente en imagenes de la base de datos de MNIST. La arquitectura de la red fue:

Layer (type)	Output Shape
input (InputLayer)	[(None, 28, 28, 1)]
conv2d (Conv2D)	(None, 28, 28, 32)
max_pooling2d (MaxPooling)	(None, 14, 14, 32)
conv2d_1 (Conv2D)	(None, 14, 14, 32)
max_pooling2d_1 (MaxPooling)	(None, 7, 7, 32)
conv2d_2 (Conv2D)	(None, 7, 7, 8)
up_sampling2d (UpSampling)	(None, 14, 14, 8)
conv2d_3 (Conv2D)	(None, 14, 14, 8)
up_sampling2d_1 (UpSampling)	(None, 28, 28, 8)
conv2d_4 (Conv2D)	(None, 28, 28, 1)
Total params: 12,537	
Trainable params: 12,537	
Non-trainable params: 0	



(a) Sin corrección



(b) Con corrección.

Figura 11: Precisión sobre datos de validación al usar datos con y sin corrección.

Debido a que los datos presentaban ciertos parámetros erróneos (como nivel de insulina nulo), se realizó una corrección sobre los mismos, cambiando los valores nulos por la media de los datos (no se modificó el numero de embarazos del paciente ya que cero es un numero posible).

Se uso una estrategia de K-Folding, promediando sobre los diferentes modelos entrenados.

En la figura 11 se muestra la precisión sobre datos de validación media y su variación entre modelos. Se ve que al usar corrección el modelo parece ser menor ruidoso pero tiene un rendimiento muy similar.

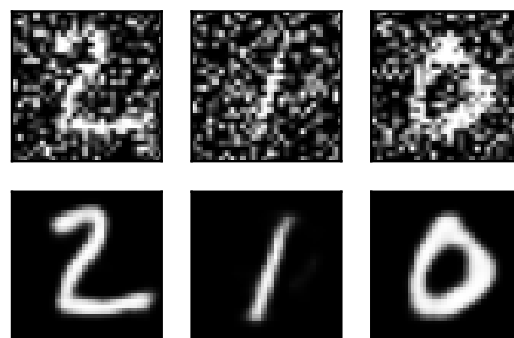


Figura 12: Tres ejemplos de imagenes ruidosas (arriba) y luego del *autoencoder* (abajo) de los datos de testing.

Como se ve en la figura 12, el filtro parece funcionar muy bien.

## EJ8

Se entrenaron una red de capas densas y una red convolucional para resolver la clasificación de la base de datos MNIST. Las arquitecturas implementadas fueron:

Model: "EJ8\_Dense"

Layer (type)	Output Shape
dense_1 (Dense)	(None, 20)
batch_norm_1 (BatchNormaliza	(None, 20)
dense_2 (Dense)	(None, 10)
batch_norm_2 (BatchNormaliza	(None, 10)
dense_3 (Dense)	(None, 10)

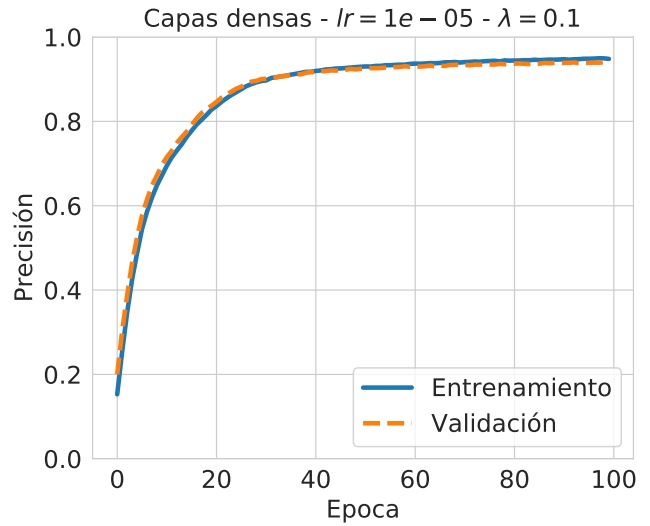
Total params: 16,140  
Trainable params: 16,080  
Non-trainable params: 60

Model: "EJ8\_Conv"

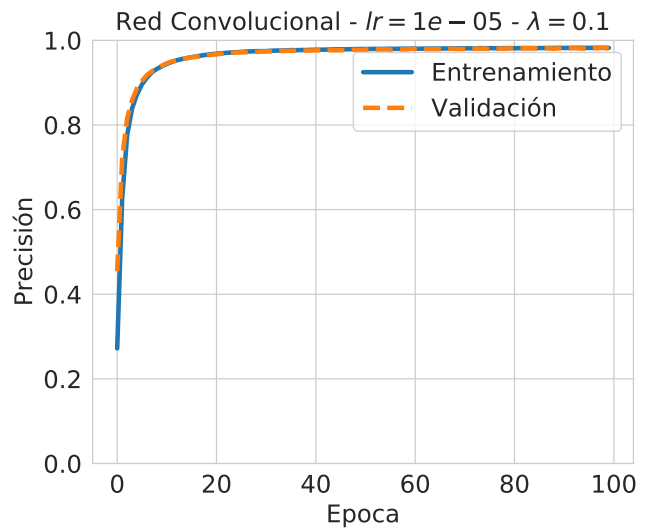
Layer (type)	Output Shape
conv_1 (Conv2D)	(None, 28, 28, 32)
max_pool_1 (MaxPooling2D)	(None, 14, 14, 32)
batch_norm_1 (BatchNormaliza	(None, 14, 14, 32)
conv_2 (Conv2D)	(None, 14, 14, 16)
max_pool_2 (MaxPooling2D)	(None, 7, 7, 16)
batch_norm_2 (BatchNormaliza	(None, 7, 7, 16)
flatten_4 (Flatten)	(None, 784)
dense (Dense)	(None, 10)

Total params: 12,986  
Trainable params: 12,890  
Non-trainable params: 96

En la figura 13 y 14 se muestra la precisión y la función de costo sobre los datos de entrenamiento y validación para las dos arquitecturas usadas. Se ve que la red convolucional tiene una convergencia mucho mas rápida que la red de capas densas y llega a un valor de precisión mas alto, además, la red de capas densa presenta mayor overfitting, ya que la precisión sobre los datos de validación es menor y crece menos lento que la precisión sobre los datos de entrenamiento. Esto tiene sentido ya que los datos son imagenes.



(a) Red de capas densas.



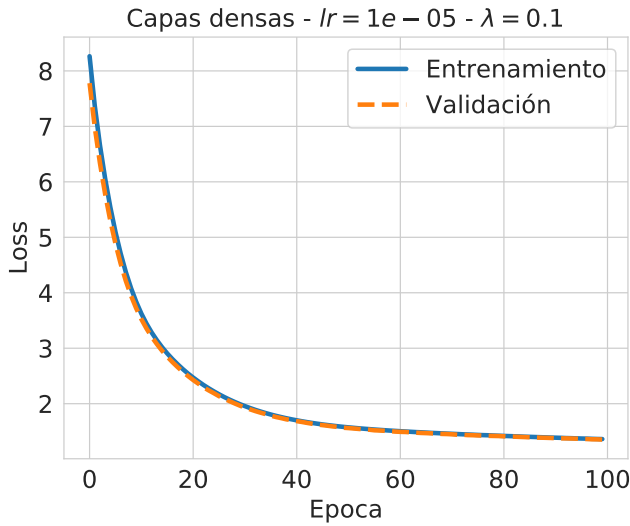
(b) Red convolucional.

Figura 13: Precisión sobre datos de entrenamiento y validación para las dos arquitecturas propuestas.

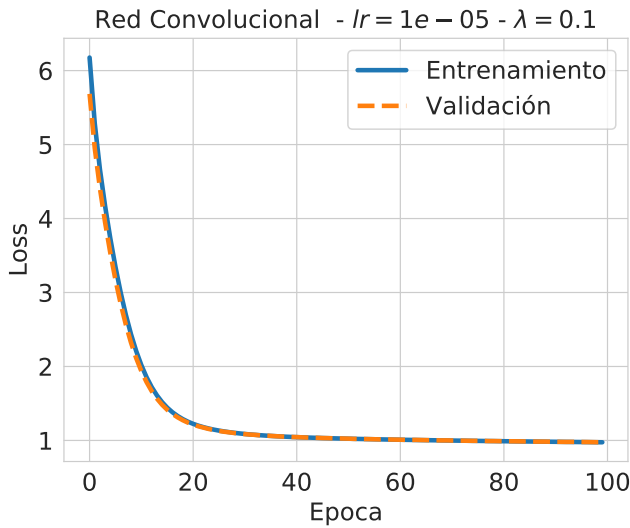
En la tabla 2 se muestran las precisiones de los modelos sobre los datos de test. Como se ve, la red convolucional tiene mejores resultados.

Arquitectura	Acc. Test
Capas densas	0.95
Convolutacional	0.98

Tabla 2: Valores de precisión sobre los datos de test para los diferentes modelos usados.



(a) Red de capas densas.



(b) Red convolucional.

Figura 14: Precisión sobre datos de entrenamiento y validación para las dos arquitecturas propuestas.

## EJ9

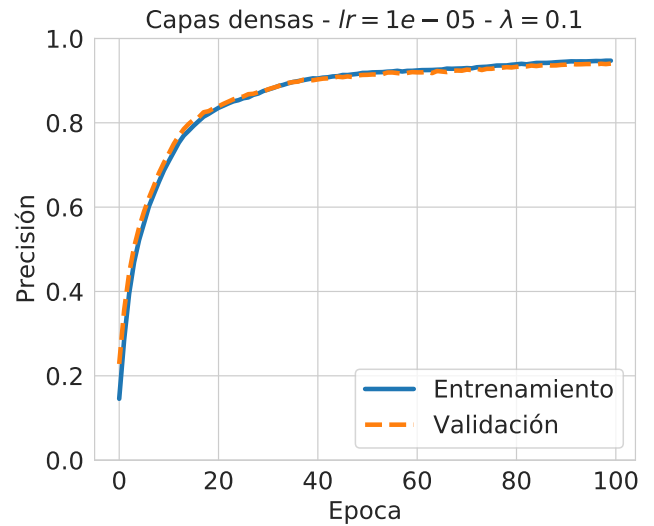
Con las mismas arquitecturas usadas en el ejercicio 8, se resolvió la clasificación de MNIST, pero introduciendo una permutación aleatoria de los datos.

En las figuras 15 y 16 se muestra la evolución del modelo. Se ve que el rendimiento de la red de capas densas no se ve notablemente alterado. En cambio, la red convolucional no llega al mismo nivel de precisión, comparada con la red usando datos no permutados. Esto tiene sentido ya que las redes convolucionales detectan ciertas características espaciales de varios píxeles de las imágenes, y al realizar una permutación, esas características se pierden.

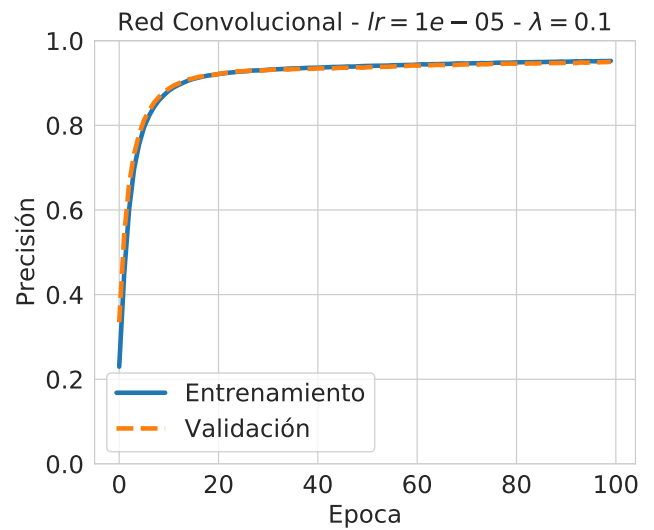
En la tabla 3 se muestran las precisiones de los modelos sobre los datos de test. Como se ve, la red convolucional tiene nuevamente mejores resultados, pero notablemente peor que el obtenido en el ejercicio 8.

Arquitectura	Acc. Test
Capas densas	0.94
Convolutacional	0.95

Tabla 3: Valores de precisión sobre los datos de test para los diferentes modelos usados con los datos permutados.



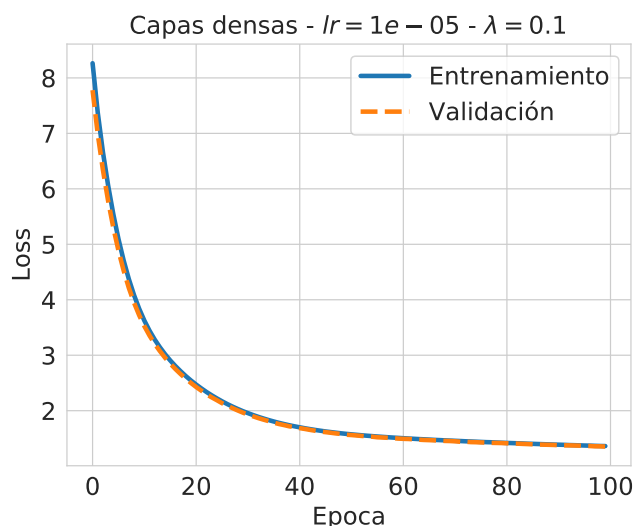
(a) Red de capas densas.



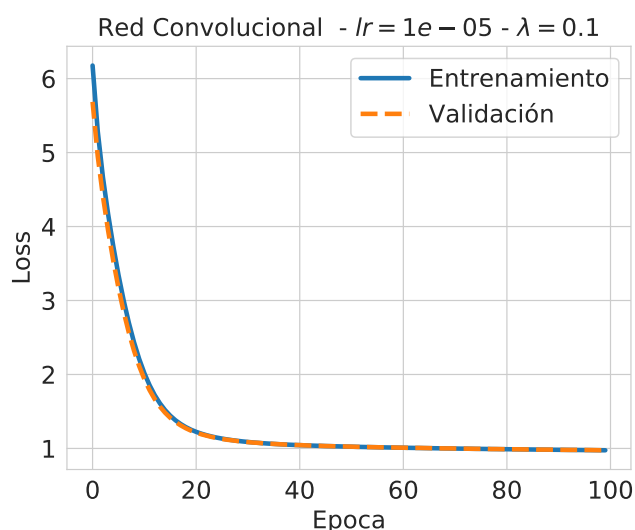
(b) Red convolucional.

Figura 15: Precisión sobre datos de entrenamiento y validación para las dos arquitecturas propuestas con los datos permutados.





(a) Red de capas densas.



(b) Red convolucional.

Figura 16: Precisión sobre datos de entrenamiento y validación para las dos arquitecturas propuestas con los datos permutados.

max_pooling2d (MaxPooling2D)	(None, 13, 13, 96)
batch_normalization (Batch Normalization)	(None, 13, 13, 96)
conv2d_1 (Conv2D)	(None, 6, 6, 256)
max_pooling2d_1 (MaxPooling2D)	(None, 5, 5, 256)
batch_normalization_1 (Batch Normalization)	(None, 5, 5, 256)
conv2d_2 (Conv2D)	(None, 5, 5, 384)
batch_normalization_2 (Batch Normalization)	(None, 5, 5, 384)
conv2d_3 (Conv2D)	(None, 5, 5, 384)
batch_normalization_3 (Batch Normalization)	(None, 5, 5, 384)
conv2d_4 (Conv2D)	(None, 5, 5, 256)
max_pooling2d_2 (MaxPooling2D)	(None, 4, 4, 256)
batch_normalization_4 (Batch Normalization)	(None, 4, 4, 256)
flatten (Flatten)	(None, 4096)
dense (Dense)	(None, 512)
dropout (Dropout)	(None, 512)
batch_normalization_5 (Batch Normalization)	(None, 512)
dense_1 (Dense)	(None, 512)
dropout_1 (Dropout)	(None, 512)
batch_normalization_6 (Batch Normalization)	(None, 512)
dense_2 (Dense)	(None, 100)
=====	
Total params: 5,744,964	
Trainable params: 5,740,164	
Non-trainable params: 4,800	

## EJ10

Se entrenaron dos redes inspiradas en las arquitecturas AlexNet y VGG16 para resolver la clasificación CIFAR100. Se usó aumento de datos para mejorar el rendimiento de los modelos.

### AlexNet

La arquitectura implementada fue:

Model: "AlexNet"

Layer (type)	Output Shape
=====	
conv2d (Conv2D)	(None, 15, 15, 96)

## VGG-16

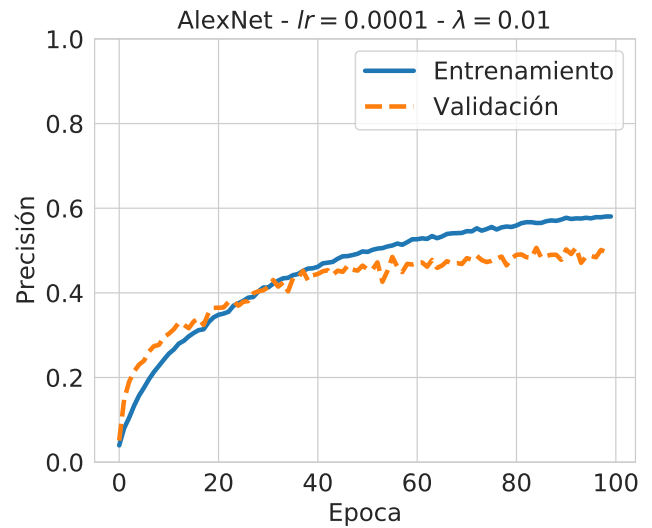
Model: "VGG16"

Layer (type)	Output Shape
=====	
batch_normalization (Batch Normalization)	(None, 32, 32, 3)
conv2d (Conv2D)	(None, 32, 32, 32)
=====	
batch_normalization_1 (Batch Normalization)	(None, 32, 32, 32)
conv2d_1 (Conv2D)	(None, 32, 32, 32)
=====	
max_pooling2d (MaxPooling2D)	(None, 16, 16, 32)
=====	
batch_normalization_2 (Batch Normalization)	(None, 16, 16, 32)

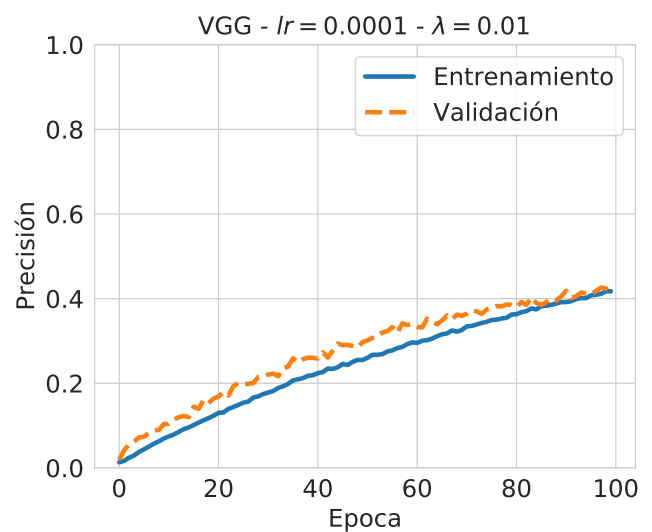
conv2d_2 (Conv2D)	(None, 16, 16, 64)
batch_normalization_3 (Batch Normalization)	(None, 16, 16, 64)
conv2d_3 (Conv2D)	(None, 16, 16, 64)
max_pooling2d_1 (MaxPooling2D)	(None, 15, 15, 64)
batch_normalization_4 (Batch Normalization)	(None, 15, 15, 64)
conv2d_4 (Conv2D)	(None, 15, 15, 128)
batch_normalization_5 (Batch Normalization)	(None, 15, 15, 128)
conv2d_5 (Conv2D)	(None, 15, 15, 128)
batch_normalization_6 (Batch Normalization)	(None, 15, 15, 128)
conv2d_6 (Conv2D)	(None, 15, 15, 128)
max_pooling2d_2 (MaxPooling2D)	(None, 14, 14, 128)
batch_normalization_7 (Batch Normalization)	(None, 14, 14, 128)
conv2d_7 (Conv2D)	(None, 14, 14, 256)
batch_normalization_8 (Batch Normalization)	(None, 14, 14, 256)
conv2d_8 (Conv2D)	(None, 14, 14, 256)
batch_normalization_9 (Batch Normalization)	(None, 14, 14, 256)
conv2d_9 (Conv2D)	(None, 14, 14, 256)
max_pooling2d_3 (MaxPooling2D)	(None, 13, 13, 256)
batch_normalization_10 (Batch Normalization)	(None, 13, 13, 256)
conv2d_10 (Conv2D)	(None, 13, 13, 256)
batch_normalization_11 (Batch Normalization)	(None, 13, 13, 256)
conv2d_11 (Conv2D)	(None, 13, 13, 256)
batch_normalization_12 (Batch Normalization)	(None, 13, 13, 256)
conv2d_12 (Conv2D)	(None, 13, 13, 128)
max_pooling2d_4 (MaxPooling2D)	(None, 12, 12, 128)
flatten (Flatten)	(None, 18432)
dense (Dense)	(None, 128)
dropout (Dropout)	(None, 128)
batch_normalization_13 (Batch Normalization)	(None, 128)
dense_1 (Dense)	(None, 128)
dropout_1 (Dropout)	(None, 128)
batch_normalization_14 (Batch Normalization)	(None, 128)

dense_2 (Dense)	(None, 128)
dropout_2 (Dropout)	(None, 128)
batch_normalization_15 (Batch Normalization)	(None, 128)
dense_3 (Dense)	(None, 100)

Total params: 5,799,440  
Trainable params: 5,794,954  
Non-trainable params: 4,486

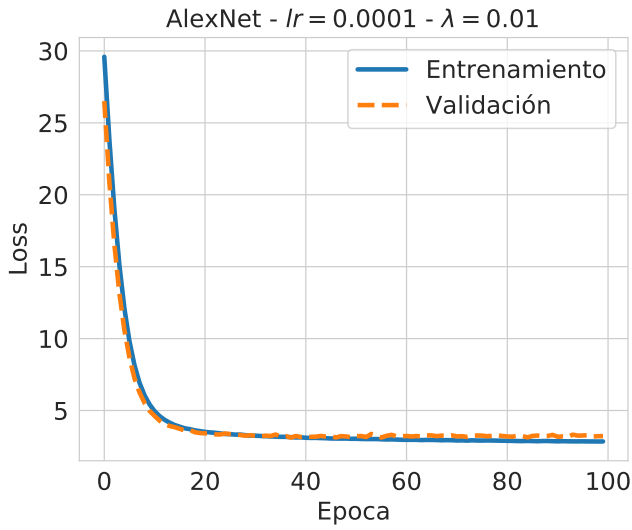


(a) AlexNet

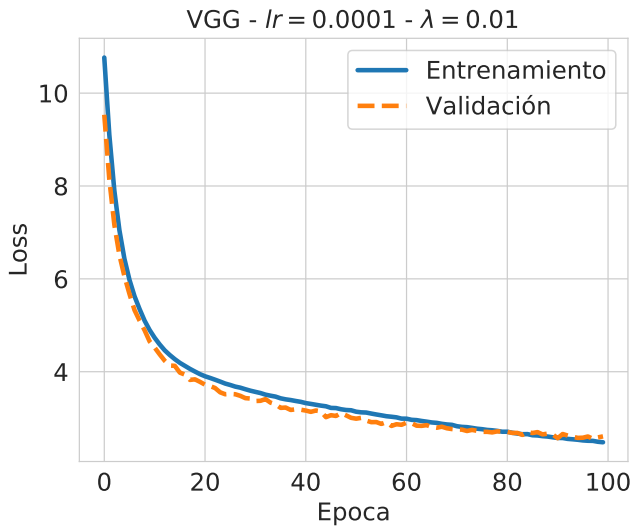


(b) VGG16.

Figura 17: Precisión sobre datos de entrenamiento y validación de CIFAR100 para las dos arquitecturas propuestas.



(a) AlexNet



(b) VGG16.

Figura 18: Función de costo sobre datos de entrenamiento y validación de CIFAR100 para las dos arquitecturas propuestas.

En las figuras 17 y 18 se muestran la precisión y la función de costo del modelo sobre los datos de entrenamiento y validación a lo largo de las épocas. A pesar de conseguir mejores resultados más rápido, la red AlexNet presenta mayor overfitting. Mientras tanto, la red VGG aprende mas lento, pero presenta menor overfitting y parecería que tiene mas potencial de aprendizaje, si se la deja un mayor tiempo entrenando, es posible que supere a la arquitectura AlexNet.

En la tabla 4 se muestra la precisión del modelo sobre los datos de test de CIFAR100

Arquitectura	Acc. Test
AlexNet	0.50
VGG16	0.42

Tabla 4: Valores de precisión sobre los datos de test de CIFAR100 para los diferentes modelos usados.